Journal of Organometallic Chemistry, 246 (1983) 243-256 Elsevier Sequoia S.A., Lausanne - Printed in The Netherlands

### NEUE TITANOCEN-DERIVATE MIT AMINOTHIOPHENOLAT-LIGANDEN

H. KÖPF \*, S. GRABOWSKI und B. BLOCK

Institut für Anorganische und Analytische Chemie der Technischen Universität Berlin, Strasse des 17. Juni 135, D-1000 Berlin 12 (Deutschland)

(Eingegangen den 10. November 1982)

### **Summary**

Titanocene dichloride ( $Cp_2TiCl_2$ ;  $Cp = \eta^5 - C_5H_5$ ) reacts with the alkali aminothiophenolates  $NaSC_6H_4NH_2$ -o or  $LiSC_6H_4NH_2$ -p in tetrahydrofuran or benzene at room temperature. According to the applied stoichiometry, one or both of the chloride ligands are substituted, and the mono- or bis(aminothiophenolato) complexes  $Cp_2TiCl(SC_6H_4NH_2-o)$  (Ia),  $Cp_2TiCl(SC_6H_4NH_2-p)$  (Ib),  $Cp_2Ti(SC_6H_4NH_2-o)_2$  (IIa), or  $Cp_2Ti(SC_6H_4NH_2-p)_2$  (IIb) are formed. Analogously, from  $Cp_2Ti(Cl)CH_3$   $Cp_2TiCH_3(SC_6H_4NH_2-o)$  (IIIa) or  $Cp_2TiCH_3(SC_6H_4NH_2-p)$  (IIIb) are obtained. IIb, which was isolated as a mixture with Ib, can be prepared in a pure state from  $Cp_2TiCl_2$  and p-aminothiophenol in ether with triethylamine as supporting base.

All substances were investigated by IR, <sup>1</sup>H NMR and mass spectrometry. Fragmentation diagrams, based on the detection of metastable decays in the mass spectrometer, were established.

### Zusammenfassung

Titanocen-dichlorid ( $Cp_2TiCl_2$ ;  $Cp = \eta^5 - C_5H_5$ ) reagiert mit den Alkaliaminothiophenolaten  $NaSC_6H_4NH_2-o$  oder  $LiSC_6H_4NH_2-p$  in Tetrahydrofuran oder Benzol bei Raumtemperatur je nach eingesetzter Stöchiometrie unter Substitution eines oder beider Chlorid-Liganden zu den entsprechenden Mono- bzw. Bis(aminothiophenolato)-Komplexen  $Cp_2TiCl(SC_6H_4NH_2-o)$  (Ia),  $Cp_2TiCl(SC_6H_4NH_2-p)$  (Ib),  $Cp_2Ti(SC_6H_4NH_2-o)_2$  (IIa) und  $Cp_2Ti(SC_6H_4NH_2-p)_2$  (IIb). In analoger Reaktionsführung bildet sich aus  $Cp_2Ti(Cl)CH_3$   $Cp_2TiCH_3(SC_6H_4NH_2-o)$  (IIIa) bzw.  $Cp_2TiCH_3(SC_6H_4NH_2-p)$  (IIIb). IIb, das im Gemisch mit Ib erhalten wurde, kann rein aus  $Cp_2TiCl_2$  und p-Aminothiophenol mit Triethylamin als Hilfsbase in Ether dargestellt werden.

Alle Substanzen wurden IR-, <sup>1</sup>H-NMR- sowie massenspektrometrisch vermessen. Durch Nachweis metastabiler Zerfälle im Massenspektrometer wurden Fragmentierungsdiagramme erhalten.

### **Einleitung**

Während Bis(thiophenolato)-Komplexe des Typs  $Cp_2Ti(SR)_2$   $(Cp = \eta^5 - C_5H_5)$  seit 1962 bekannt [1] und durch 1: 2-Reaktion von Dichloro-bis( $\eta^5$ -cyclopentadienyl)titan(IV) (Titanocen-dichlorid) mit den entsprechenden Alkali-thiophenolaten [1] oder den Thiophenolen unter Zusatz einer Hilfsbase [2,3] nach Gl. 2 und 3 leicht zugänglich sind, wurden die formal bei 1:1-Umsetzung nach Gl. 1 zu erwartenden Mono(thiophenolato)-chloro-Derivate  $Cp_2TiCl(SR)$  bisher nur in einer Redoxreaktion von Disulfiden mit Di- $\mu$ -chlorotetrakis( $\eta^5$ -cyclopentadienyl)dititan(III) nach Gl. 4 erhalten [4]:

$$Cp_2TiCl_2 + M^{I}SR \rightarrow Cp_2TiCl(SR) + M^{I}Cl$$
 (1)

$$Cp_2TiCl_2 + 2M^1SR \rightarrow Cp_2Ti(SR)_2 + 2M^1Cl$$
 (2)

$$Cp_2TiCl_2 + 2HSR + 2Bs \rightarrow Cp_2Ti(SR)_2 + 2Bs \cdot HCl$$
 (3)

$$[Cp_2TiCl]_2 + RSSR \rightarrow 2Cp_2TiCl(SR)$$
(4)

Die bei Einsatz von Aminothiophenolen in die Reaktion 3 ( $R = C_6H_4NH_2$ ) isolierten Verbindungen waren bislang wenig untersucht. Als Hilfsbasen Bs kamen Triethylamin [5] sowie Ammoniak [6] zur Anwendung, wobei in letzterem Fall für das Umsetzungsprodukt mit o-Aminothiophenol das cyclische Derivat A oder das disubstituierte Derivat B – jeweils als Addukt mit weiterem o-Aminothiophenol – diskutiert wurden [6].

Setzt man aliphatische α,ω-Aminothiole mit Cp<sub>2</sub>TiCl<sub>2</sub> um, so zeigen diese bifunktionellen Liganden eine Neigung zur zweizähnigen Koordination unter Bildung polymerer Komplexe, bei denen nicht nur Chlorid-, sondern auch Cyclopentadienyl-Liganden des Cp<sub>2</sub>TiCl<sub>2</sub> substituiert sind [7].

Bei den hier beschriebenen Reaktionen von  $Cp_2TiCl_2$  mit Alkalimetall-o- und -p-aminothiophenolaten haben wir die bifunktionelle Reaktionsweise dieser Ligandsalze – Ringschlussreaktion oder Polymerenbildung – präparativ nicht beobachten können. Ebensowenig trat eine Adduktbildung auf. Es entstand vielmehr je nach angewandter Reaktionsstöchiometrie (Gl. 1 oder 2) das Mono- oder das Disubstitutionsprodukt  $Cp_2TiCl(SR)$  bzw.  $Cp_2Ti(SR)_2$  mit  $R = C_6H_4NH_2$ . Letzteres liess sich günstig auch nach Gl. 3 aus den Aminothiophenolen unter Verwendung von Triethylamin als Hilfsbase darstellen.

### Ergebnisse

Die Reaktion von Titanocen-dichlorid mit Natrium-o-aminothiophenolat in Tetrahydrofuran (THF) bzw. Lithium-p-aminothiophenolat in Benzol im Molverhältnis

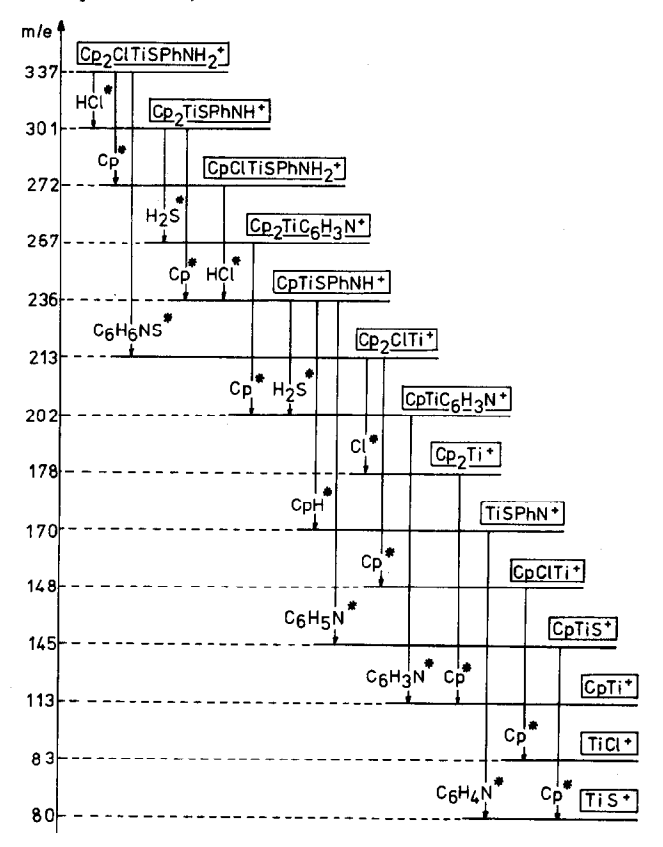
### SCHEMA 1

TABELLE 1
CHARAKTERISTISCHE SIGNALE DER MASSENSPEKTREN <sup>a</sup>

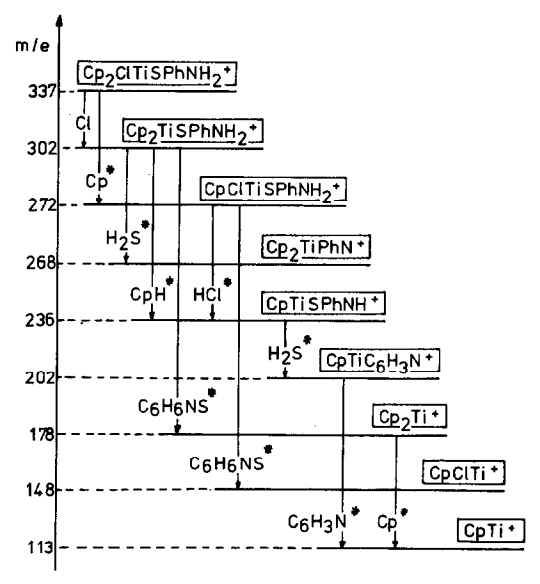
m/e Zuordnung		Relative Signalintensitäten (%)					
		Cp <sub>2</sub> TiCl- (SPhNH <sub>2</sub> )		Cp <sub>2</sub> Ti- (SPhNH <sub>2</sub> ) <sub>2</sub>		Cp <sub>2</sub> TiCH <sub>3</sub> - (SPhNH <sub>2</sub> )	
		Ia	Ib	lla	ПР	IIIa	IIIb
426	Cp <sub>2</sub> Ti(SPhNH <sub>2</sub> ) <sub>2</sub> <sup>+</sup>				14		
337	Cp <sub>2</sub> TiCl(SPhNH <sub>2</sub> ) <sup>+</sup>	3	70				
317	Cp <sub>2</sub> TiCH <sub>3</sub> (SPhNH <sub>2</sub> ) <sup>+</sup>					3	16
302	Cp <sub>2</sub> TiSPhNH <sub>2</sub> +		9		47	41	100
301	Cp <sub>2</sub> TiSPhNH <sup>+</sup>	46		48		10	
272	CpTiCl(SPhNH <sub>2</sub> )+	4	41				
236	CpTiSPhNH+	100	100	100	36	100	20
213	Cp₂TiCl <sup>+</sup>	21	12				
202	CpTiC <sub>6</sub> H <sub>3</sub> N <sup>+</sup>	19	12	18	4	13	
178	Cp <sub>2</sub> Ti <sup>+</sup>	5	69	4	100	38	62
171	TiSPhNH+		20		6		
170	TiSPhN+	6		5		3	
148	CpTiCl+	26	28				
145	CpTiS <sup>+</sup>	24		25	6	19	
113	CpTi +	8	3	7	10	13	18
83	TiCl+	6	3				
80	TiS+	14	11	79	38	6	24

<sup>&</sup>lt;sup>a</sup> Varian MAT 311 A; Elektronenstrahlionisation; Temperatur der Ionenquelle 90-160°C. Signalintensitäten unter 3% wurden nicht berücksichtigt.  $Cp = C_5H_5$ ;  $Ph = C_6H_4$ .

SCHEMA 2. Fragmentierung von  $Cp_2TiCl(SPhNH_2-o)$  (Ia)  $(Cp = C_5H_5, Ph = C_6H_4; Temperatur der Ionenquelle 150°C).$ 



SCHEMA 3. Fragmentierung von  $Cp_2TiCl(SPhNH_2-p)$  (Ib)  $(Cp = C_5H_5, Ph = C_6H_4; Temperatur der Ionenquelle 180°C).$ 



Verbindung	C <sub>5</sub> H <sub>5</sub> <sup>b</sup>	C <sub>6</sub> H₄	NH <sub>2</sub> <sup>c</sup>	CH <sub>3</sub> <sup>b</sup>
Cp <sub>2</sub> TiCl <sub>2</sub>	6.60		_	_
$Cp_2TiCl(SPhNH_2-o)$ (Ia)	6.31	$6.93^{d}$	4.10	_
$Cp_2TiCl(SPhNH_2-p)$ (Ib)	6.27	6.95 <sup>e</sup>	3.46	_
$Cp_2Ti(SPhNH_2-o)_2$ (IIa)	6.05	6.92 <sup>d</sup>	4.23	_
$Cp_2Ti(SPhNH_2-p)_2$ (IIb)	5.99	7.00 °	3.69	_
Cp <sub>2</sub> Ti(Cl)CH <sub>3</sub>	6.27	_	_	0.82
Cp <sub>2</sub> TiCH <sub>3</sub> (SPhNH <sub>2</sub> -0) (IIIa)	6.02	6.92 <sup>d</sup>	3.88	0.37
Cp <sub>2</sub> TiCH <sub>3</sub> (SPhNH <sub>2</sub> -p) (IIIb)	6.00	7.02 °	3.68	0.31

TABELLE 2

1H-NMR-SIGNALE DER REAKTIONSPRODUKTE UND VERGLEICHSSIGNALE 4

1/1 liefert bei Raumtemperatur die Aminothiophenolato-chloro-Komplexe Cp<sub>2</sub>-TiCl(SPhNH<sub>2</sub>-o) (Ia) und Cp<sub>2</sub>TiCl(SPhNH<sub>2</sub>-p) (Ib) (Schema 1; Ph = C<sub>6</sub>H<sub>4</sub>). Das tiefschwarze, bei 130–132°C schmelzende Ia ist in organischen Lösungsmitteln mit schwarzer Farbe löslich und zeigt erst in grösserer Lösungsmittelverdünnung eine Farbaufhellung nach rotbraun. Ib ist tiefrot und schmilzt bei 98–100°C; es ist ebenso gut löslich, jedoch mit dunkelroter Farbe.

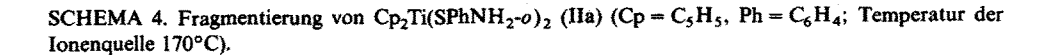
In den Massenspektren beider Verbindungen (Tabelle 1, Schema 2 und 3) treten die Signale der Molekülionen sowie von Bruchstücken auf, die mit den vorgeschlagenen Strukturen (Schema 1) in Einklang sind. Für Ia ist die Bildung der Fragmente Cp<sub>2</sub>TiSPhNH<sup>+</sup> und CpTiSPhNH<sup>+</sup> (Basispeak) mit hoher Häufigkeit charakteristisch. Die intensivsten Signale rühren bei Ib vom Molekülion Cp<sub>2</sub>TiCl(SPhNH<sub>2</sub>)<sup>+</sup>, von CpTiSPhNH<sup>+</sup> (Basispeak) sowie von Cp<sub>2</sub>Ti<sup>+</sup> her.

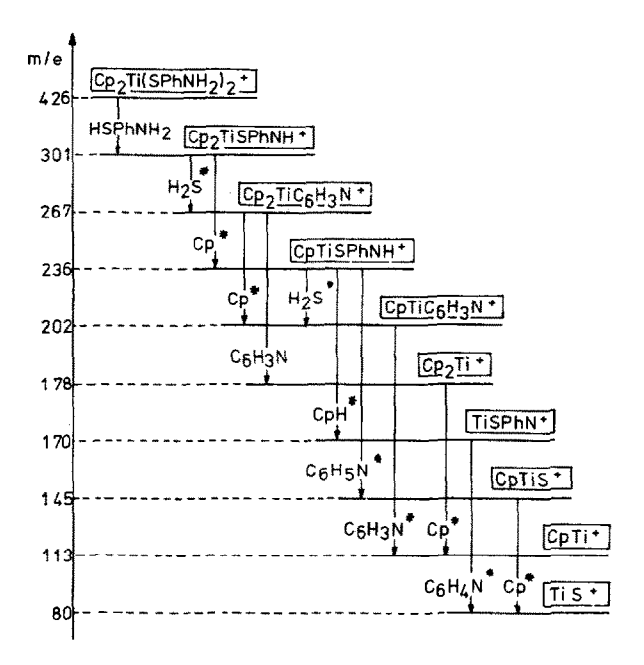
Im  $^1$ H-Kernresonanzspektrum (Tabelle 2) beobachtet man bei Ia und Ib eine Hochfeldverschiebung des Singuletts der äquivalenten  $C_5H_5$ -Protonen um etwa 0.3 ppm, verglichen mit dem Dichloro-Komplex  $Cp_2TiCl_2$ . Die  $C_6H_4$ -Protonen bilden im Fall der o-Verbindung Ia ein ABCD-Multiplett um  $\delta$  6.93 ppm; das AA'BB'-Multiplett der p-Verbindung Ib ist bei  $\delta$  6.95 ppm zentriert. Die NH<sub>2</sub>-Protonen der o-bzw. p-Aminogruppe zeigen ein breites Signal bei  $\delta$  4.10 bzw. 3.46 ppm.

Bei der Umsetzung von Cp<sub>2</sub>TiCl<sub>2</sub> mit zwei Äquivalenten NaSPhNH<sub>2</sub>-o in THF bzw. LiSPhNH<sub>2</sub>-p in Benzol (Schema 1) bildet sich bei Raumtemperatur nur Cp<sub>2</sub>Ti(SPhNH<sub>2</sub>-o)<sub>2</sub> (IIa) in reiner Form, während Cp<sub>2</sub>Ti(SPhNH<sub>2</sub>-p)<sub>2</sub> (IIb) im Gemisch mit Ib entsteht. Reines IIb lässt sich jedoch durch Reaktion von Cp<sub>2</sub>TiCl<sub>2</sub> mit zwei Äquivalenten p-Aminothiophenol in Diethylether unter Verwendung von Triethylamin als Hilfsbase bei Raumtemperatur darstellen (Schema 1). Bei IIa und IIb handelt es sich um dunkelrote bzw. schwarze Feststoffe, die sich in polaren Lösungsmitteln mit blauvioletter Farbe leicht lösen. IIa schmilzt unter Zersetzung bei 96-98°C, IIb dagegen unzersetzt bei 112-115°C.

Im Massenspektrum von IIa (Tabelle 1, Schema 4) tritt das Molekülion bei Elektronenstrahlionisation nur in äusserst geringer Intensität auf. Durch hohe Signalintensität sind die Fragmentierungsprodukte Cp<sub>2</sub>TiSPhNH<sup>+</sup>, CpTiSPhNH<sup>+</sup> (Basispeak) und TiS<sup>+</sup> ausgewiesen. Bei IIb (Tabelle 1, Schema 5) ist der Peak des

<sup>&</sup>lt;sup>a</sup> Bruker WP 80; Werte gemessen in CDCl<sub>3</sub>,  $\delta$  (ppm). Bezugssignal CHCl<sub>3</sub>,  $\delta$  7.27 ppm. Cp = C<sub>5</sub>H<sub>5</sub>; Ph = C<sub>6</sub>H<sub>4</sub>. <sup>b</sup> Singulett. <sup>c</sup> Verbreitertes Signal. <sup>d</sup> ABCD-Multiplett. <sup>e</sup> AA'BB'-Multiplett.

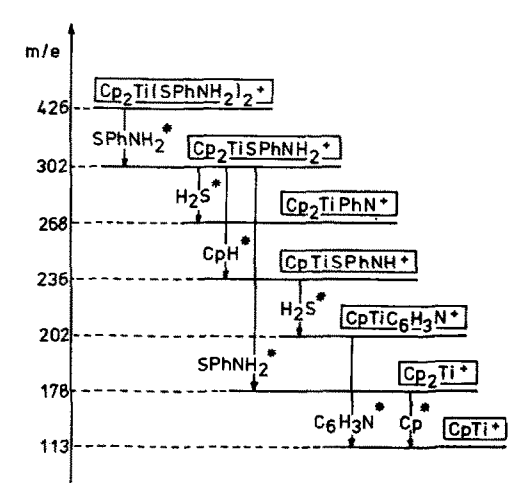




Molekülions dagegen wesentlich ausgeprägter; hohe Signalintensität zeigen hier die Fragmente Cp<sub>2</sub>TiSPhNH<sub>2</sub><sup>+</sup> und Cp<sub>2</sub>Ti<sup>+</sup>.

Im <sup>1</sup>H-Kernresonanzspektrum (Tabelle 2) weisen die Bis(aminothiophenolato)-Komplexe IIa und IIb eine – im Vergleich zu Ia und Ib verdoppelte – Hochfeldverschiebung des C<sub>5</sub>H<sub>5</sub>-Singuletts von etwa 0.6 ppm gegenüber Cp<sub>2</sub>TiCl<sub>2</sub> auf.

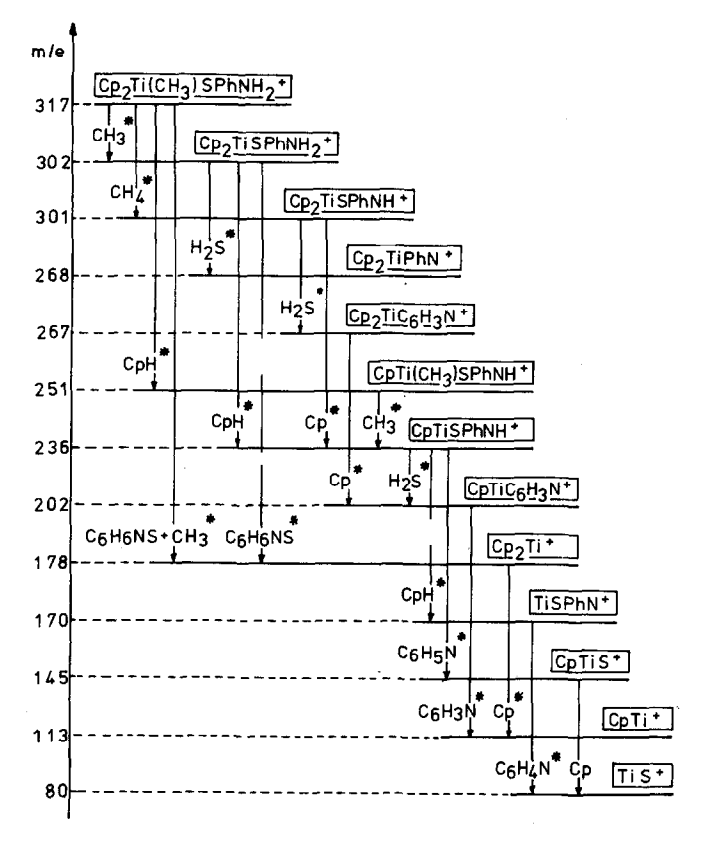
SCHEMA 5. Fragmentierung von  $Cp_2Ti(SPhNH_2-p)_2$  (IIb) ( $Cp=C_5H_5$ ,  $Ph=C_6H_4$ ; Temperatur der Ionenquelle 170°C).



Signallage und -muster der C<sub>6</sub>H<sub>4</sub>-Protonen von IIa und IIb entsprechen den Befunden bei Ia und Ib. Das verbreiterte Signal der NH<sub>2</sub>-Protonen von IIa und IIb ist gegenüber dem betreffenden Signal von Ia bzw. Ib geringfügig (0.1 bzw. 0.2 ppm) zu niedrigerem Feld verschoben.

Von Cp<sub>2</sub>Ti(Cl)CH<sub>3</sub> ausgehend wurden durch 1:1-Reaktion mit NaSPhNH<sub>2</sub>-obzw. LiSPhNH<sub>2</sub>-p in Benzol/Toluol bzw. Benzol (Schema 1) die Methyltitan-Derivate Cp<sub>2</sub>TiCH<sub>3</sub>(SPhNH<sub>2</sub>-o) (IIIa) und Cp<sub>2</sub>TiCH<sub>3</sub>(SPhNH<sub>2</sub>-p) (IIIb) dargestellt. Das rehbraune IIIa (Fp. 115–118°C) und das dunkelbraune IIIb (F.p. 120–123°C) sind in organischen Medien besser löslich als die Chloro-Komplexe Ia und Ib. IIIa und IIIb zersetzen sich kurz oberhalb ihres Schmelzpunktes unter Gasentwicklung.

SCHEMA 6. Fragmentierung von  $Cp_2TiCH_3(SPhNH_2-o)$  (IIIa) ( $Cp = C_5H_5$ ,  $Ph = C_6H_4$ ; Temperatur der Ionenquelle 130°C).



Im Massenspektrum (Tabelle 1, Schema 6 und 7) zeigen beide Produkte das Molekülion. Als besonders intensive Signale erscheinen bei IIIa CpTiSPhNH<sup>+</sup> (Basispeak) und bei IIIb Cp<sub>2</sub>TiSPhNH<sub>2</sub><sup>+</sup> (Basispeak) sowie Cp<sub>2</sub>Ti<sup>+</sup>.

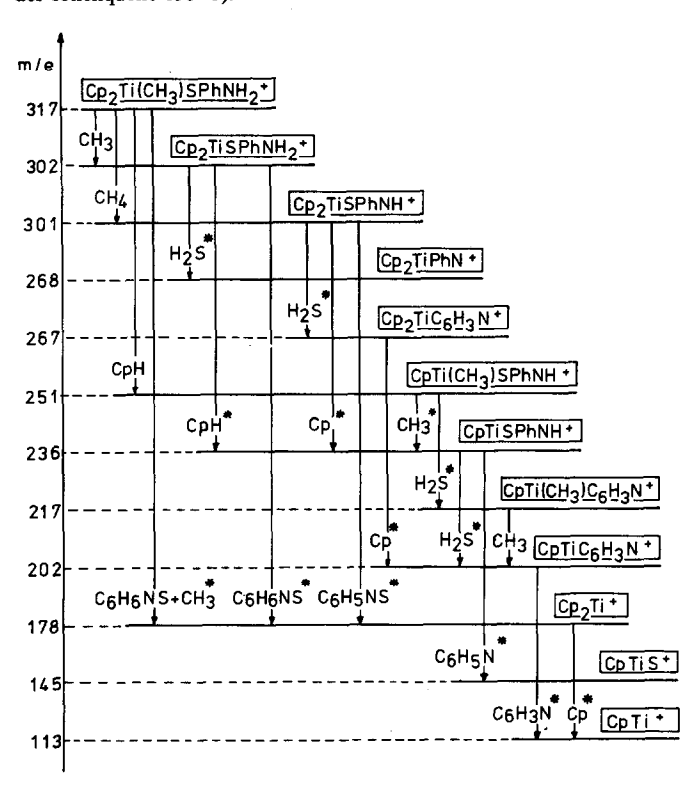
Die <sup>1</sup>H-Kernresonanzspektren (Tabelle 2) der Aminothiophenolato-methyl-Komplexe IIIa und IIIb sind bezüglich der Signallagen der C<sub>5</sub>H<sub>5</sub>-Singuletts sowie der C<sub>6</sub>H<sub>4</sub>-Multipletts den Spektren der entsprechenden Bis(aminothiophenolato)-Komplexe IIa bzw. IIb jeweils sehr ähnlich. Die Hochfeldverschiebung der C<sub>5</sub>H<sub>5</sub>-Protonensignale von IIIa und IIIb beträgt etwa 0.6 ppm gegenüber Cp<sub>2</sub>TiCl<sub>2</sub> und etwa 0.3 ppm gegenüber Cp<sub>2</sub>Ti(Cl)CH<sub>3</sub>. Gleichfalls eine Hochfeldverschiebung um

TABELLE 3

AUSWAHL CHARAKTERISTISCHER ABSORPTIONSBANDEN DER INFRAROTSPEKTREN"

Verbindung <sup>b</sup>		v(CH)(CH <sub>3</sub> )	δ(NH)(NH <sub>2</sub> ) <sup>ε</sup>	ω(CC)(Cp)	δ(CH)(Cp)	γ(CH)(Cp)	γ(CH)(Ph) <sup>d</sup>
Cp2TiCl2		ı	ı	1430	1015	825	1
$C_{p_2}TiCl(SPhNH_{2-0})$ (	(Ia)	- 1	1605, 1580	1445	1020	830	770
	(P)	1	1610, 1580	1435	1015	820	820
_	(IIa)	1	1595	1445	1025	830	765
$-p)_{2}$ (	(IIb)	ı	1610, 1590	1435	1020	815	815
Cp2Ti(Cl)CH3		2945, 2875	í	1435	1010	820	1
Cp2TiCH3(SPhNH2-0) (IIIa)	IIIa)	.2930, 2870	1580	1435	1015	820	755
$Cp_2TiCH_3(SPhNH_{2-p})$ (IIIb)	IIIb)	2930, 2870	1610, 1580	1430	1015	825	825

<sup>a</sup> Perkin–Elmer 457, KBr-Pressling, Werte in cm<sup>-1</sup>. <sup>b</sup> Cp = C<sub>5</sub>H<sub>5</sub>, Ph = C<sub>6</sub>H<sub>4</sub>. <sup>c</sup> Überlagerung mit  $\delta$ (CH)(Ph) und  $\omega$ (CC)(Ph). <sup>d</sup> Bei p-Substituenten Überlagerung mit  $\gamma$ (CH)(Cp).



SCHEMA 7. Fragmentierung von  $Cp_2TiCH_3(SPhNH_2-p)$  (IIIb) ( $Cp = C_5H_5$ ,  $Ph = C_6H_4$ ; Temperatur der Ionenquelle 150°C).

etwa 0.5 ppm ist an den Singuletts der CH<sub>3</sub>-Liganden von IIIa und IIIb, verglichen mit Cp<sub>2</sub>Ti(Cl)CH<sub>3</sub>, zu beobachten.

Von dem nach Literaturvorschriften [8,9] aus Cp<sub>2</sub>TiCl<sub>2</sub> mit Methylmagnesiumchlorid in Ether dargestellten Cp<sub>2</sub>Ti(Cl)CH<sub>3</sub> (Schema 1) wird hier ein Massenspektrum angegeben: Das Molekülion (m/e 228) tritt bei der Elektronenstrahlionisation nicht auf. Das intensivste Signal des Gesamtspektrums ist Cp<sub>2</sub>TiCl<sup>+</sup> (m/e 213, rel. Int. 100%), was der Abspaltung der Methylgruppe entspricht. Weitere Fragmente sind: Cp<sub>2</sub>Ti<sup>+</sup> (178, 13%); CpTiCl<sup>+</sup> (148, 64%); C<sub>3</sub>H<sub>3</sub>TiCl<sup>+</sup> (122, 11%); CpTi<sup>+</sup> (113, 7%); TiCl<sup>+</sup> (83, 13%).

Die Methylgruppe in Cp<sub>2</sub>Ti(Cl)CH<sub>3</sub> ist auch hydrolytisch leicht abspaltbar, wobei sich (Cp<sub>2</sub>TiCl)<sub>2</sub>O bildet [9]. Bei Umsetzungen mit Cp<sub>2</sub>Ti(Cl)CH<sub>3</sub> muss deshalb sorgfältig unter Luft- und Feuchtigkeitsausschluss gearbeitet werden. Dagegen sind alle hier dargestellten Aminothiophenolato-Komplexe als Festsubstanzen relativ luftstabil, während sich die Lösung bei höherer Temperatur oder Lichteinwirkung sowie beim Stehenlassen an der Luft zersetzen.

Eine Auswahl charakteristischer Banden der Infrarotspektren aller hier dargestellten Verbindungen findet sich in Tabelle 3; eine ausführliche Auflistung aller Banden ist den Versuchsbeschreibungen beigefügt.

### Diskussion

Bei den hier durchgeführten Reaktionen von Titanocen-dichlorid mit den potentiell zweizähnigen Aminothiophenolato-Liganden beobachteten wir abhängig von der Reaktionsstöchiometrie die Ausbildung einer oder zweier Titan-Schwefel-Bindungen gemäss Schema 1, während eine denkbare Bindung des Titans zum Stickstoffatom der Aminogruppe wie in A [6] unter den angewandten Reaktionsbedingungen präparativ nicht verwirklicht wurde. Ebenso bildeten sich ausgehend von Cp<sub>2</sub>Ti(Cl)CH<sub>3</sub> und M<sup>1</sup>SPhNH<sub>2</sub> die S-koordinierten Produkte IIIa bzw. IIIb (Schema 1), während die denkbare zusätzliche Methan-Abspaltung zu S, N-koordinierten Chelat- oder Brückenkomplexen ausblieb.

SCHEMA 8
$$(Ia)^{+} \xrightarrow{*}_{-HCl}$$

$$(IIa)^{+} \xrightarrow{-HS Ph NH_{2}} Cp_{2}Ti \xrightarrow{N}_{S} Cp_{T}Ti \xrightarrow{N}_{S} Cp_{T$$

Einzig im Massenspektrum konnten wir vor allem im Fall der o-Aminothiophenolate Ia, IIa und IIIa das Auftreten der hier vermutlich cyclischen, S, N-koordinierten Spezies Cp<sub>2</sub>TiSPhNH<sup>+</sup>(C) und CpTiSPhNH<sup>+</sup>(D) beobachten (Tabelle 1, Schema 8). Für den elektronenstossinduzierten Zerfall von Ia (Schema 2) und IIIa (Schema 6) ist die HCl- bzw. CH<sub>4</sub>-Abspaltung aus dem Molekülion zu C massenspektrometrisch durch die entsprechenden metastabilen Signale belegt, ebenso der für Ia, IIa (Schema 4) und IIIa einheitliche weitere Abbau von C, der hauptsächlich durch aufeinanderfolgende Cp- und CpH-Abspaltung über D zum möglicherweise gleichfalls cyclischen TiSPhN<sup>+</sup> sowie in geringerem Ausmass durch H<sub>2</sub>S-Abspaltung zu Cp<sub>2</sub>TiC<sub>6</sub>H<sub>3</sub>N<sup>+</sup> verläuft.

Die offenbar bevorzugte Fragmentierung der o-Aminothiophenolato-Komplexe nach Schema 8 über die durch Ringbildung stabilisierten Bruchstücke C und D führt dazu, dass das Molekülion hier allgemein mit geringer, D dagegen mit jeweils maximaler Intensität im Massenspektrum auftritt. Als weitere, durch metastabile Übergänge abgesicherte Zerfallsweisen dieser Molekülionen erscheinen bei Ia die Abspaltung von Cp oder SPhNH<sub>2</sub>, bei IIIa von CpH, CH<sub>3</sub> oder CH<sub>3</sub>SPhNH<sub>2</sub>, wobei die beiden letztgenannten Fragmentierungswege die relativ hohe Auftrittshäufigkeit der Fragmente Cp<sub>2</sub>TiSPhNH<sub>2</sub><sup>+</sup> und Cp<sub>2</sub>Ti<sup>+</sup> bei IIIa bedingen. Ansonsten sind gerade diese beiden Fragmente für die p-Aminothiophenolate Ib, IIb und IIIb (Schema 3, 5 und 7) charakteristisch und meist mit hoher Häufigkeit vertreten, während das C in der Summenformel entsprechende Bruchstück Cp<sub>2</sub>TiSPhNH<sup>+</sup> hier nicht (bzw. bei IIIb nur in geringer Intensität) vorkommt. Ein allgemeiner Abbauweg der intensitätsmässig ausgeprägteren Molekülionen der p-Aminothiophenolato-

Komplexe scheint über Cp<sub>2</sub>TiSPhNH<sub>2</sub><sup>+</sup> zu verlaufen, von dem aus, wie die aufgefundenen metastabilen Signale zeigen, die Eliminierung von H<sub>2</sub>S zu Cp<sub>2</sub>TiPhN<sup>+</sup>, von SPhNH<sub>2</sub> zu Cp<sub>2</sub>Ti<sup>+</sup> und von CpH zu CpTiSPhNH<sup>+</sup> führt. Das D in der Summenformel entsprechende, bei Ib sogar mit maximaler Intensität auftretende CpTiSPhNH<sup>+</sup> spielt offenbar auch im Fragmentierungsmuster der *p*-Verbindungen eine bevorzugte Rolle.

In den <sup>1</sup>H-NMR-Spektren unterscheiden sich die o- von den p-Aminothiophenolato-Komplexen des gleichen Typs (abgesehen vom unterschiedlichen Kopplungsmuster der C<sub>6</sub>H<sub>4</sub>-Protonen) praktisch nur durch eine Tieffeldverschiebung der o-NH<sub>2</sub>- gegenüber den p-NH<sub>2</sub>-Protonensignalen von 0.6 bei Ia/Ib, 0.5 bei IIa/IIb und 0.2 ppm bei IIIa/IIIb. Dagegen fällt die aus den unterschiedlichen Verschiebungswerten der C<sub>5</sub>H<sub>5</sub>-Protonen bei Mono- und Bis(aminothiophenolato)-Komplexen deutlich ablesbare Donorwirkung der Aminothiophenolat-Liganden gegenüber dem Titanocen-Gerüst ins Auge. Die in der Reihe

$$Cp_2TiCl_2 < Cp_2Ti(Cl)CH_3 \cong Ia \cong Ib < IIa \cong IIb \cong IIIa \cong IIIb$$

um jeweils 0.3 ppm zunehmende Hochfeldverschiebung der  $C_5H_5$ -Protonensignale zeigt, dass die Schwefel-Donorliganden eine erhöhte Elektronendichte am Titanatom bewirken, die sich in einer erhöhten Abschirmung der  $C_5H_5$ -Protonen äussert. Die Liganden SPhNH<sub>2</sub>-o, SPhNH<sub>2</sub>-p und CH<sub>3</sub> zeigen dabei in etwa den gleichen abschirmenden Effekt. Auch das Singulett der CH<sub>3</sub>-Protonen weist mit einer Hochfeldverschiebung von etwa 0.5 ppm in der Komplexreihe Cp<sub>2</sub>Ti(Cl)CH<sub>3</sub> < IIIa  $\cong$  IIIb als Sonde für die Elektronendichte am Titanatom auf deren Erhöhung durch die Aminothiophenolat-Liganden hin.

### Experimentelles

Alle Reaktionen wurden unter Argon durchgeführt. Tetrahydrofuran (THF), Diethylether, Pentan, Benzol und Toluol wurden vor der Verwendung von einer Na/K-Legierung im Argonstrom frisch abdestilliert, Triethylamin war über Kaliumhydroxid getrocknet und destilliert. Aminothiophenole wurden vor Verwendung im Ölpumpenvakuum destilliert. n-Butyllithium kam in käuflicher 15%iger (1.6 mol 1<sup>-1</sup>) Lösung in n-Hexan zum Einsatz. Cp<sub>2</sub>TiCl<sub>2</sub> war nach [10] erhältlich. Cp<sub>2</sub>Ti(Cl)CH<sub>3</sub> wurde in Anlehnung an [9] aus Cp<sub>2</sub>TiCl<sub>2</sub> in Ether und einer käuflichen 20%igen (3 mol 1<sup>-1</sup>) Lösung von Methylmagnesiumchlorid in THF bei Raumtemperatur dargestellt. Die Schmelzpunktbestimmungen erfolgten auf einem Kofler-Mikroheiztisch. Zur Aufnahme der Infrarotspektren dienten Kaliumbromid-Presslinge der Substanzen. Für die Erstellung der Fragmentierungsdiagramme wurden die metastabilen Zerfälle im 1. feldfreien Raum des Massenspektrometers mittels einer "linked scan"-Technik (magnetfeld-gesteuerte Änderung der Ablenkspannung des elektrostatischen Analysators) registriert.

## 1. Natrium-o-aminothiophenolat

0.35 g (15 mmol) Natrium wurden in 50 ml heissem Toluol granuliert (ggf. wurde Toluol sodann abpipettiert und durch 50 ml THF ersetzt) und bei Raumtemperatur mit 0.63 g (5 mmol) o-Aminothiophenol 20 h gerührt. Die farblose Suspension von NaSC<sub>6</sub>H<sub>4</sub>NH<sub>2</sub>-o wurde durch Abdekantieren vom zusammengeballten überschüssigen Natrium abgetrennt.

470vw,br.

## 2. Lithium-p-aminothiophenolat

3.2 ml (5 mmol) einer Lösung von n-Butyllithium (1.6 mol  $l^{-1}$ ) in Hexan wurden in eine Lösung von 0.63 g (5 mmol) p-Aminothiophenol in 50 ml Benzol eingespritzt. Die sich sofort bildende farblose Suspension von LiSC<sub>6</sub>H<sub>4</sub>NH<sub>2</sub>-p wurde 1 h bei Raumtemperatur gerührt.

## 3. o-Aminothiophenolato-chloro-bis(\(\eta^5\)-cyclopentadienyl)titan(IV) (Ia)

Zur gerührten Lösung von 1.25 g (5 mmol) Cp<sub>2</sub>TiCl<sub>2</sub> in 100 ml THF wurde portionsweise innerhalb 1 h die Suspension von 5 mmol NaSC<sub>6</sub>H<sub>4</sub>NH<sub>2</sub>-o in THF gegeben, wobei die anfangs hellrote Lösung sich tief schwarzrot verfärbte. Nach 2 h Rühren bei Raumtemperatur wurde von NaCl abfiltriert und das Lösungsmittel im Vakuum bis auf ca. 50 ml abgezogen. Nach Zugabe von Pentan bis zur beginnenden Fällung wurde 20 h bei Raumtemperatur stehengelassen und filtriert. Nach erneutem Einengen bis auf wenige ml fiel eine schwarze Festsubstanz aus, die abgesaugt und mit wenig Toluol gewaschen wurde. Nach Trocknen im Vakuum verblieben 1.0 g (59%) analysenreines Ia als schwarzes amorphes Pulver, Fp. 130–132°C. (Gef. C, 56.22; H, 4.98; Cl, 10.62; N, 3.97. C<sub>16</sub>H<sub>16</sub>ClNSTi (337.73) ber.: C, 56.90; H, 4.78; Cl, 10.50; N, 4.15%.)

IR-Absorptionen (cm<sup>-1</sup>): 3430m; 3330m; 3100w, br; 1605s; 1580w, sh; 1475s; 1445s; 1365w; 1310m; 1270vw; 1250w; 1155m; 1140vw; 1070m; 1030m,sh; 1020s; 970vw; 940w; 870m,sh; 855m, sh; 845m,sh; 830vs; 770s; 730vw; 680vw; 605vw; 560w; 470w; 430w; 390vw,sh; 370w (vw = sehr schwache, w = schwache, m = mittelstarke, s = starke, vs = sehr starke Intensität; br = breit; sh = Schulter).

# 4. p-Aminothiophenolato-chloro-bis( $\eta^5$ -cyclopentadienyl)titan(IV) (Ib)

Ansatz und Reaktionsführung erfolgten wie bei Ia unter 3., jedoch in Benzol mit LiSC<sub>6</sub>H<sub>4</sub>NH<sub>2</sub>-p. Die tiefviolette Reaktionsmischung wurde 20 h bei Raumtemperatur gerührt und filtriert. Der nach dem Abziehen des Solvens im Vakuum verbleibende Rückstand wurde mit Ether angereiben, die rotbraune Festsubstanz abgesaugt und mit Ether gewaschen. Nach Trocknen im Vakuum verblieben 1.2 g (70%) Ib, Fp. 98–100°C. (Gef. C, 56.07; H, 4.84; Cl, 11.03; N, 3.97. C<sub>16</sub>H<sub>16</sub>CINSTi (337.73) ber.: C, 56.90; H, 4.78; Cl, 10.50; N, 4.15%.)

IR (cm<sup>-1</sup>): 3420vw,br; 3300w,br; 3080w,br; 1610m; 1580s; 1480s; 1435m; 1285w; 1255w; 1195vw; 1175m; 1085m,br; 1015m; 820vs; 700m,br; 605w,br; 525w; 510w,sh; 415vw,br; 385vw; 370vw.

# 5. Bis(o-aminothiophenolato)-bis( $\eta^5$ -cyclopentadienyl)titan(IV) (IIa)

Zur Suspension von 10 mmol NaSC<sub>6</sub>H<sub>4</sub>NH<sub>2</sub>-o in 100 ml THF wurde innerhalb von 30 min eine Lösung von 1.25 g (5 mmol) Cp<sub>2</sub>TiCl<sub>2</sub> in 200 ml THF getropft, wobei sich die Reaktionsmischung tief blauviolett verfärbte. Nach 20 h Rühren bei Raumtemperatur wurde filtriert und das Lösungsmittel abgezogen. Der schmierige schwarze Rückstand wurde in 150 ml Toluol aufgenommen. Erneutes Filtrieren, weitgehendes Abziehen des Solvens und vorsichtiges Fällen mit Pentan lieferte 1.3 g (61%) IIa als tiefrotes, amorphes Pulver, Fp. 96–98°C unter Zersetzung. (Gef. C, 61.48; H, 5.39; N, 6.23. C<sub>22</sub>H<sub>22</sub>N<sub>2</sub>S<sub>2</sub>Ti (426.46) ber.: C, 61.96; H, 5.20; N, 6.57%.) IR (cm<sup>-1</sup>): 3430w,br; 3330w,br; 3100vw,br; 1595s; 1475s; 1445m; 1300w,br; 1250w; 1160w; 1140vw,br; 1080w,br; 1025m; 1015m,sh; 830s; 765s; 680w; 605w;

# 6. Bis(p-aminothiophenolato)- $bis(\eta^5$ -cyclopentadienyl)titan(IV) (IIb)

1.0 g (4 mmol) Cp<sub>2</sub>TiCl<sub>2</sub> wurden in 100 ml Ether suspendiert und mit 1.12 ml (8 mmol) Triethylamin versetzt. Unter Rühren wurde innerhalb von 90 min eine Lösung von 1.0 g (8 mmol) p-Aminothiophenol in 50 ml Ether zugetropft, wobei sich die Reaktionsmischung tief blauviolett verfärbte. Es wurde 20 h bei Raumtemperatur gerührt, von Triethylamin-hydrochlorid abfiltriert und dieses mit Ether ausgewaschen. Die vereinigten Etherlösungen wurden im Vakuum bis auf wenige Milliliter eingeengt, worauf IIb als schwarze Festsubstanz ausfiel. Absaugen und Waschen mit wenig Ether lieferte 0.68 g (37%) analysenreines IIb, Fp. 112–115°C. (Gef. C, 62.25; H, 4.81; N, 5.73. C<sub>22</sub>H<sub>22</sub>N<sub>2</sub>S<sub>2</sub>Ti (426.46) ber.: C, 61.96; H, 5.20; N, 6.57%.)

IR (cm<sup>-1</sup>): 3380w; 3300w; 3100w; 1610s; 1590s; 1480vs; 1435w,br; 1360vw; 1285m,sh; 1265s; 1175s; 1080w,br; 1065w,br; 1020m; 1010m; 935vw; 915vw; 825vs,sh; 815vs; 625w,br; 600w,br; 520m; 510w,sh; 400vw; 360w.

Führt man die Reaktion wie unter 5. für IIa beschrieben, jedoch in Benzol mit LiSC<sub>6</sub>H<sub>4</sub>NH<sub>2</sub>-p durch, so erhält man nach Umkristallisieren aus wenig Ether ein Gemisch von IIb und Ib, das sich <sup>1</sup>H-NMR-spektrometrisch identifizieren lässt (Tabelle 2).

## 7. o-Aminothiophenolato-methyl-bis( $\eta^5$ -cyclopentadienyl)titan(IV) (IIIa)

Zur Suspension von 5 mmol NaSC<sub>6</sub>H<sub>4</sub>NH<sub>2</sub>-o in Toluol wurde unter Rühren innerhalb 1 h eine Lösung von 1.14 g (5 mmol) Cp<sub>2</sub>Ti(Cl)CH<sub>3</sub> in 100 ml Benzol getropft. Die schwarze Reaktionsmischung wurde 2 h bei Raumtemperatur gerührt und filtriert. Nach Abziehen des Lösungsmittels im Vakuum und Anreiben des Rückstandes mit reichlich Ether konnten 0.5 g (31%) IIIa als rehbraune, feinkristalline Festsubstanz isoliert werden; Fp. 115–118°C, bei 120°C Zersetzung unter Gasentwicklung. (Gef. C, 64.59; H, 5.91; N, 4.42. C<sub>17</sub>H<sub>19</sub>NSTi (317.31) ber.: C, 64.35; H, 6.04; N, 4.41%.)

IR (cm<sup>-1</sup>): 3420w,br; 3330w; 3090w; 3070w; 3030vw; 2980vw; 2930w; 2870w; 1580s; 1460s; 1435s; 1365w; 1290m; 1245w; 1150m; 1130w; 1070m; 1025m,sh; 1015s; 930w; 920w,sh; 900vw; 855m,sh; 850s,sh; 840s,sh; 830vs,sh; 820vs; 750vs; 730vw; 680m; 600w,br; 550vw; 465w; 430w; 395w; 370w; 315w.

# 8. p-Aminothiophenolato-methyl-bis( $\eta^5$ -cyclopentadienyl)titan(IV) (IIIb)

Ansatz und Reaktionsführung erfolgten wie bei IIIa unter 7., jedoch mit LiSC<sub>6</sub>H<sub>4</sub>NH<sub>2</sub>-p in Benzol. Der nach Abziehen des Lösungsmittels verbleibende Rückstand wurde mit Ether angerieben und ergab 0.5 g (31%) IIIb als dunkelbraune Festsubstanz; Fp. 120–123°C, bei 125°C Zersetzung unter Gasentwicklung. (Gef. C, 63.94; H, 6.01; N, 4.21. C<sub>17</sub>H<sub>19</sub>NSTi (317.31) ber.: C, 64.35; H, 6.04; N, 4.41%.)

IR (cm<sup>-1</sup>): 3400w; 3300m; 3180vw; 3080vw,br; 2915w; 2870vw; 1610m; 1580s; 1480vs; 1430m; 1370vw; 1275s; 1260m; 1170m; 1090m,br; 1020s; 925w; 855m,sh; 820vs; 640vw; 605w; 520s; 480w; 435vw; 415vw; 375w.

#### Dank

Unser Dank gilt Herrn Prof. Dr. J. Müller für die Diskussion und Frau A. Stöckel für die Aufnahme der Massenspektren, sowie dem Fonds der Chemischen Industrie und der Deutschen Forschungsgemeinschaft für die finanzielle Unterstützung der Arbeit.

## Literatur

- 1 S.A. Giddings, U.S. Pat. 3030395 (1962).
- 2 H. Köpf und M. Schmidt. Z. Anorg. Allg. Chem., 340 (1965) 139.
- 3 S.A. Giddings, Inorg. Chem., 6 (1967) 849.
- 4 R.S.P. Coutts, J.R. Surtees, J.M. Swan und P.C. Wailes, Aust. J. Chem., 19 (1966) 1377.
- 5 B. Block, Dissertation, Universität Würzburg 1968.
- 6 D.N. Sen und U.N. Kantak, Indian J. Chem., 9 (1970) 254.
- 7 H. Köpf und S. Grabowski, Z. Anorg. Allg. Chem., im Druck.
- 8 K. Clauss und H. Bestian, Liebigs Ann. Chem., 654 (1962) 8.
- 9 H.C. Beachell und S.A. Butter, Inorg. Chem., 4 (1965) 1133.
- 10 G. Wilkinson und J.M. Birmingham, J. Amer. Chem. Soc., 76 (1954) 4281.